

Сухое осаждение ряда водорастворимых неорганических компонентов на станции Иркутск в 2020 г.

У.Г. Назарова^{✉ *}

Лимнологический институт СО РАН
664033, г. Иркутск, ул. Улан-Баторская, 3

Поступила в редакцию 14.02.2022 г.;
после доработки 30.03.2022 г.;
принята к печати 11.04.2022 г.

Проанализирован химический состав сухого осаждения в промышленном центре Восточной Сибири г. Иркутске (Россия) в 2020 г. В теплое время года в составе сухих выпадений были повышенны PO_4^{3-} , особенно в штилевую погоду. В осенний период средние концентрации NH_4^+ по сравнению с августом возросли в три раза, водорастворимого Si^{2+} – в два раза, а концентрации PO_4^{3-} снизились в три раза.

Ключевые слова: атмосферный аэрозоль, атмосферные осадки, сухое осаждение, химический состав; atmospheric aerosol, atmospheric precipitation, dry deposition, chemical composition.

Введение

Исследование процессов формирования химического состава и распространения примесей в атмосфере Байкальского региона, оказывающих влияние на химический состав атмосферных выпадений и впоследствии на качество вод Байкала, имеет важное практическое значение.

Иркутск, шестой по величине город Сибири, располагается в границах первой и второй зоны атмосферного влияния Байкальской природной территории на расстоянии 70 км к северо-западу от оз. Байкал. Выбросы источников из этой зоны попадают в экосистемы главным образом в результате влажного и сухого осаждения. Сухое осаждение включает газы и частицы. Основными и наиболее опасными газами являются оксиды азота (NO_x) и диоксид серы (SO_2) – предшественники кислот, образующие аэрозоль, частицы которого содержат анионы: нитрат (NO_3^-) и сульфат (SO_4^{2-}) [1].

Для измерения сухого осаждения существует широкий спектр методов. Можно выделить два основных метода: прямой и косвенный [2]. Прямые измерения сухих осаждений чрезвычайно сложны и поэтому крайне немногочисленны [3]. Кроме того, они могут считаться приемлемыми только для тех условий и для того периода времени, при которых они проводились, с учетом метеорологических параметров, а именно температуры, относительной влажности, скорости и направления ветра. Изме-

рения сухих осаждений были проведены на нескольких станциях в прибрежных районах Байкала в начале 1980-х гг. [4].

Цель настоящей работы – изучения химического состава проб сухого осаждения, отобранных в Иркутске в 2020 г.

Материалы и методы

В настоящей работе использовался прямой метод для измерения сухого осаждения (концентрация осажденного материала, умноженная на скорость осаждения в единицу времени). В теплое время года, с апреля по октябрь, на площадке для отбора проб атмосферных осадков устанавливали измерительную ячейку, во избежание выдувания эоловой взвеси заполненную дистиллированной водой объемом 1 л. В холодное время года, с ноября по март, при отрицательных температурах воздуха кювета не заполнялась, а сполоскивалась дистиллированной водой в лабораторных условиях. Отбор проб осуществлялся в течение 24 ч. Собранные образцы были протестированы на показатель pH. Образцы фильтровали через фильтр из ацетата целлюлозы с порами размером 0,2 мкм. В образцах определялся ионный состав (K^+ , Mg^{2+} , Na^+ , Ca^{2+} , NH_4^+ , Cl^- , NO_3^{2-} , Br^- и SO_4^{2-}) на хроматографе ICS-3000 (Dionex, США), а также состав соединений биогенных элементов (NO_2^- , PO_4^{3-}) и Si фотометрическим методом, основанным на взаимодействии мономерно-димерной формы кремниевой кислоты и силикатов с молибдатом аммония в кислой среде с образованием молибдокремниевой

* Ульяна Геннадьевна Назарова (ulyana@lin.irk.ru).

гетерополикислоты желтого цвета [5]. Чтобы выявить влияние метеорологических факторов на изменение химического состава сухого осаждения, была использована модель HYSPLIT [6]. Для каждого дня отбора проб скачаны данные из архива погоды по температуре, влажности, скорости и направлению ветра [7].

Результаты

В июле 2020 г. на ст. Иркутск возобновлены прямые измерения сухих осаждений. Одним из критериев экологической обстановки является оценка поступлений серы и азота на подстилающую поверхность. Потоки серы и азота, поступающие из атмосферы, пересчитывались для азота из нитратов и ионов аммония, для серы – из сульфатов по формуле [8]:

$$D = CV\Delta t,$$

где D – поступление веществ, $\text{мг} \cdot \text{м}^{-2} \cdot \text{сут}^{-1}$; C – средняя концентрация за период Δt ; V – скорость сухих осаждений. Скорости сухих осаждений применяли с учетом типа поверхности и определенных климатических условий.

Прямое осаждение серы и азота на подстилающую поверхность в июле–декабре 2020 г. указывает на увеличение потоков азота от 1,2 $\text{мг} \cdot \text{м}^{-2} \cdot \text{сут}^{-1}$ летом до 6,3 $\text{мг} \cdot \text{м}^{-2} \cdot \text{сут}^{-1}$ зимой и снижение потоков серы от 8,4 $\text{мг} \cdot \text{м}^{-2} \cdot \text{сут}^{-1}$ летом до 6,5 $\text{мг} \cdot \text{м}^{-2} \cdot \text{сут}^{-1}$ зимой. Анализ химического состава сухих выпадений за 2020 г. в Иркутске показал, что во всех проанализированных пробах преобладали ионы SO_4^{2-} , NH_4^+ , PO_4^{3-} , Cl^- , Si и Na^+ .

В теплый период года наблюдалась большая повторяемость штилей и ветров восточных и южных направлений. Со снижением температуры воздуха возросла повторяемость ветров западного и северо-западного направлений, а также средняя скорость ветра. Отмечалось, что в теплое время года в составе сухих осаждений повышалось содержание фосфатов. Как видно из рис. 1 и 2 (цв. вкладка), 4–5 августа при скорости ветра меньше 1 м/с концентрация фосфатов увеличилась до 0,7 мкг/л. Также в периоды снижения скоростей ветра и при длительных штилевых условиях в составе сухих осаждений возрастали концентрации NH_4^+ . Это можно связать с влиянием местного фона, а именно окружающей площадки отбора проб в теплый сезон травянистой растительности. Предполагается, что в условиях летних штилей в процессе денитрификации растительность выделяет также и соединения фосфора, которые накапливаются в атмосфере. При скорости ветра 2,3 м/с 26–27 августа 2020 г. выросла концентрация кремния (0,7 мкг/л), который содержится в эловом лигненном веществе. Как правило, это происходит, когда на состав выпадений влияют воздушные массы, сформировавшиеся над территорией Казахстана, Бурятии и Монголии. Для атмосферных выпадений в этих случаях характерно преоблада-

ние терригенных элементов в сухих осаждениях [9]. Повышенные концентрации кремния определены также в сухом веществе, осаждающемся осенью. В этот сезон отмирает наземная растительность, и при скорости ветра 2,1 м/с (15–16 октября 2020 г.) пылевые частицы, накопленные на засохшей растительности, снова поднимаются в воздух и влияют на состав сухих осаждений. В октябре средние концентрации NH_4^+ (0,6 мкг/л) по сравнению с августом (0,2 мкг/л) возросли в три раза, водорастворимого Si^{2+} – в два раза, концентрация PO_4^{3-} снизилась в три раза.

В дальнейшем планируется более детальное рассмотрение не только временной, но и пространственной динамики состава сухих осаждений.

Заключение

Проанализирован химический состав сухого осажденного материала ряда водорастворимых неорганических компонентов. В сезонной динамике более высокие концентрации ионов регистрируются в теплый период при низких скоростях ветра. Повышение скорости ветра способствует росту концентрации кремния. Со снижением температуры воздуха возросла повторяемость ветров западного и северо-западного направлений, а также средняя скорость ветра. Увеличилась концентрация ионов NH_4^+ , PO_4^{3-} . В течение всего года преобладают ионы SO_4^{2-} , NH_4^+ , PO_4^{3-} , Na^+ , Si .

Финансирование. Работа выполнена в рамках госзадания ЛИН СО РАН (№ 0279-2021-0014).

Список литературы

1. *Hanson P.J., Lindberg S.E.* Dry deposition of reactive nitrogen compounds: a review of leaf canopy and non-foliar measurements // *Atmos. Environ.* 1991. V. 25A, N 8. P. 1615–1634.
2. *Businger J.A.* Evaluation of the accuracy with which dry deposition can be measured with current micrometeorological techniques // *J. Appl. Meteorol.* 1986. V. 25. P. 1100–1124.
3. *Kumar R., Maharaj Kumari K.* Experimental and parameterization method for evaluation of dry deposition of s compounds to natural surfaces // *Atmos. Climate Sci.* 2012. V. 2. P. 492–500. DOI: 10.4236/acs.2012.24043.
4. *Оболкин В.А., Ходжер Т.В.* Годовое поступление из атмосферы сульфатов и минерального азота в регионе оз. Байкал // *Метеорол. и гидрол.* 1990. № 7. С. 71–76.
5. Руководящий документ: РД 52.24.433-2018 Массовая концентрация кремния в водах. Методика измерений фотометрическим методом в виде желтой формы молибдокремневой кислоты. Взамен РД 52.24.433-2005; введ. с 16.10.2018. Ростов-на-Дону: [Б.и.], 2018. 20 с.
6. *Stein A.F., Draxler R.R., Rolph G.D., Stunder B.J.B., Cohen M.D., Ngan F.* NOAA's HYSPLIT atmospheric transport and dispersion modeling system // *Bull. Am. Meteorol. Soc.* 2015. V. 96. P. 2059–2077. DOI: 10.1175/BAMS-D-14-00110.1.
7. URL: <https://meteoinfo.ru/archive-pogoda> (дата обращения 30.11.2020).

8. Валикова В.И., Матвеев А.А., Чебаненко Б.Б. Поступление некоторых веществ с атмосферными осадками в регионе озера Байкал / Совершенствование регионального мониторинга состояния оз. Байкал. Л.: Гидрометеоиздат, 1985.
9. Molozhnikova Y.V., Netsvetaeva O.G., Shikhovtsev M.Yu. Determination of the main factors affecting the chemical composition of precipitation in the Southern Baikal region // Proc. SPIE. 2021. N 1191615. P. 1–6. DOI: 10.1117/12.2600443.

U.G. Nazarova. Dry deposition of water-soluble inorganic components at Irkutsk station in 2020.

The chemical composition of dry deposition in the industrial center of Eastern Siberia, Irkutsk (Russia) in 2020 is analyzed. In the warm season, the content of PO_4^{3-} in the dry deposition was increased, especially in calm weather. In autumn, the average concentration of NH_4^+ was three time higher as compared to August; Si^{2+} , two time higher, and PO_4^3 , three time lower.

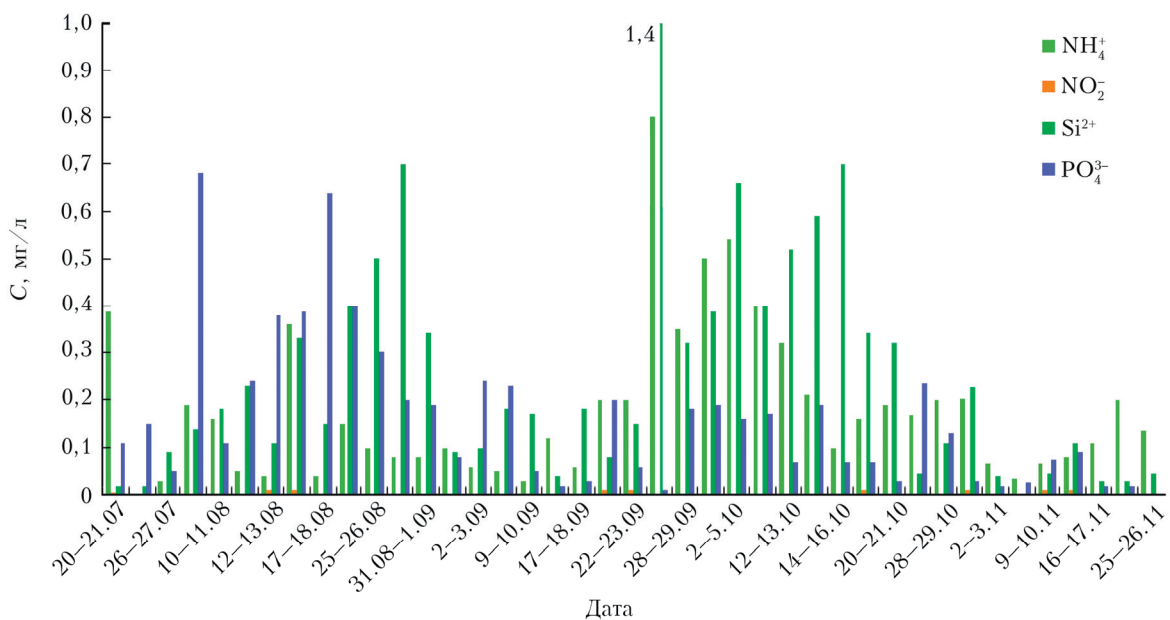


Рис. 1. Соединения биогенных элементов и кремния в сухом осаждении

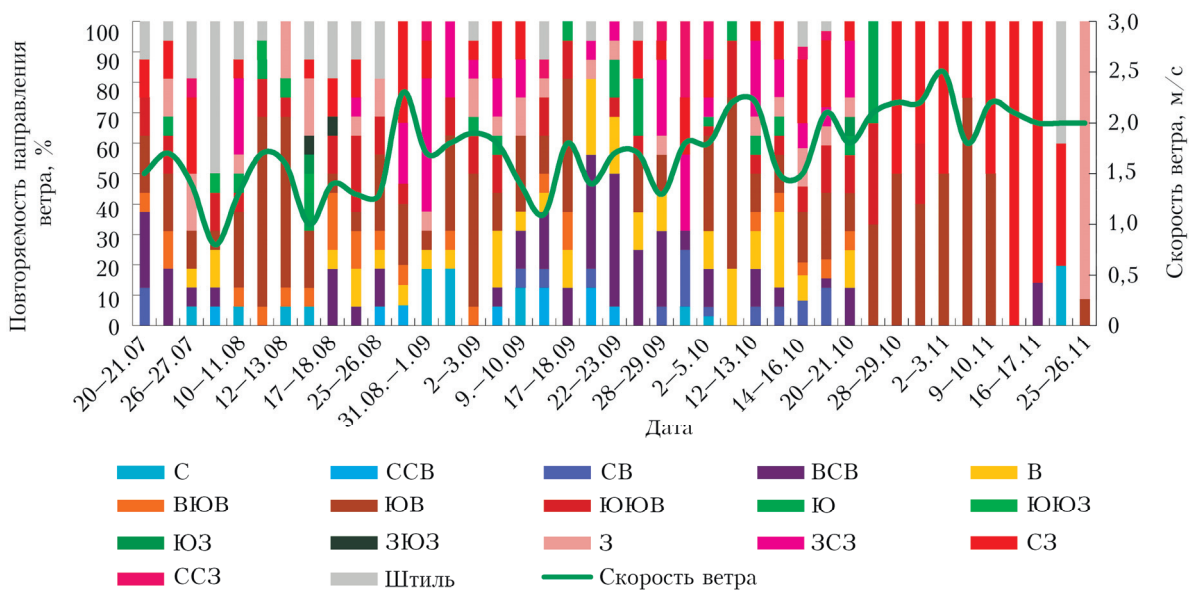


Рис. 2. Скорость и направление ветра при отборе проб сухого осаждения